

УДК 620.314.263

М.Ф.Зарипов, И.А.Лиманов, А.В.Капцов

АНАЛИТИЧЕСКОЕ ПРЕДСТАВЛЕНИЕ ПОТОКОРАСПРЕДЕЛЕНИЯ В МАГНИТОПРОВОДЕ МАГНИТОУПРУГОГО ДАТЧИКА

В настоящее время с целью измерения механических напряжений в различных деталях и конструкциях машин применяются магнитоупругие датчики [1].

Магнитоупругий датчик механических напряжений обычно представляет собой П-образный магнитопровод с возбуждающей и измерительной обмотками. При расчете электрических параметров датчика в основном пользуются схемой замещения с сосредоточенными параметрами [2], [3], что приводит к значительному расхождению между теоретическими и экспериментальными значениями измеряемых величин.

В данной работе рассматривается аналитическая зависимость индуктивности обмоток с учетом потоков рассеяния в магнитопроводе и измеряемой детали.

На рис. 1 приведена конструкция датчика.

Пренебрегая нелинейностью характеристик магнитного сопротивления сердечника и детали, потоками выпучивания в непосредственной близости от воздушных зазоров, составим дифференциальные уравнения для потоков и МДС, создаваемых распределенной обмоткой.

Изменения потоков и МДС на элементарных участках магнитной линии dx_1 и dx_2 в магнитопроводе и измеряемой детали составляют:

$$-d\Phi_{x_1} = F_{x_1} g_1 dx_1; \quad (1)$$

$$-dF_{x_1} = \Phi_{x_1} z_{\mu_1} dx_1 + I w_y dx_1; \quad (2)$$

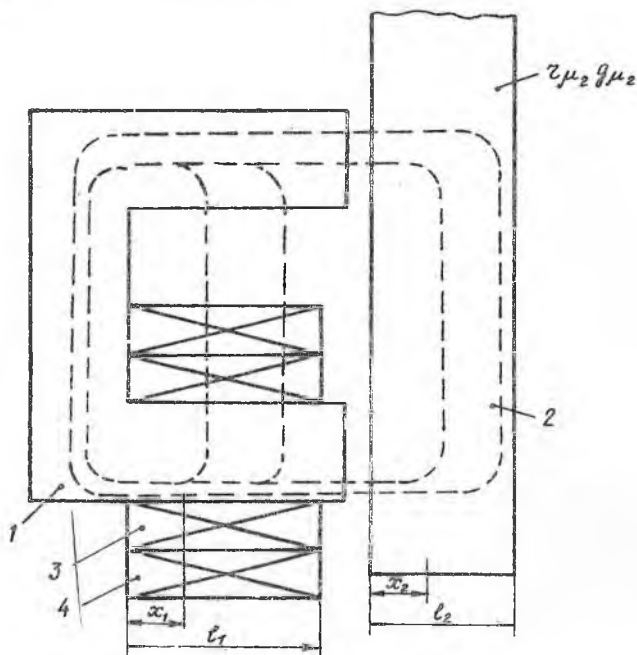
$$-d\Phi_{x_2} = F_{x_2} g_2 dx_2; \quad (3)$$

$$-dF_{x_2} = \Phi_{x_2} z_{\mu_2} dx_2, \quad (4)$$

где g_1 и z_{μ_1} - соответственно удельная воздушная магнитная проводимость между стержнями магнитопровода и магнитное сопротивление сердечников;

$g_2 = \frac{1}{z_{\mu_2}}$ - удельная магнитная проводимость измеряемой детали;

J_{wy} - удельная МДС.



Р и с. 1. Конструкция датчика: 1 - магнитопровод; 2 - измеряемая деталь; 3 - измерительная обмотка; 4 - возбуждающая обмотка

Вторые производные от потоков Φ_{x_1} и Φ_{x_2} по dx_1 и dx_2 из выражений (1) и (3) с учетом (2) и (4) дают дифференциальные уравнения:

$$\left. \begin{aligned} \frac{d^2 \Phi_{x_1}}{dx_1^2} - \Phi_{x_1} g_1 z_{\mu_1} &= J_{wy} g_1; \\ \frac{d^2 \Phi_{x_2}}{dx_2^2} - \Phi_{x_2} g_2 z_{\mu_2} &= 0. \end{aligned} \right\} \quad (5)$$

Общие решения полученных уравнений имеют вид:

$$\left. \begin{aligned} \Phi_{x_1} &= A_1 e^{\gamma x_1} + B_1 e^{-\gamma x_1} - J \omega y \frac{1}{z_{\mu_1}}; \\ \Phi_{x_2} &= A_2 e^{\gamma_2 x_2} + B_2 e^{-\gamma_2 x_2}, \end{aligned} \right\} \quad (6)$$

где $\gamma = \sqrt{z_{\mu} g}$.

Постоянные интегрирования A_1 , B_1 , A_2 , B_2 , определяются из граничных условий:

$$\left. \begin{aligned} F_{x_1=0} &= 0; \\ \Phi_{x_1=l} &= \Phi_{x_2=0}; \\ F_{x_1=l} - \Phi_{x_2=0} z_{\mu \sigma} &= F_{x_2=0}; \\ \Phi_{x_2=l_2} &= 0, \end{aligned} \right\} \quad (7)$$

где $z_{\mu \sigma}$ - магнитное сопротивление воздушного зазора.

Определим величины z_{μ_2} и g_2 .

Известно, что магнитное сопротивление стали определяется по формуле

$$z_m = \frac{F}{\Phi} = \frac{F}{B_0 S}. \quad (8)$$

В то же время, если на поверхности измеряемой детали индукция поля равна B_0 , то с увеличением координаты x_2 индукция магнитного поля B_{x_2} уменьшается. При условии, что $\mu_2 = const$, т.е. μ_2 не зависит от напряженности магнитного поля, индукцию B_{x_2} можно определить по формуле

$$B_{x_2} = \frac{B_0}{\sqrt{\frac{Ch \kappa x_2 + \cos \kappa x_2}{2}}}. \quad (9)$$

Тогда магнитное сопротивление измеряемой детали с учетом затухания поля с увеличением x_2 будет равно:

$$z'_m = f(x_2) = \frac{F}{B_0 S} \sqrt{\frac{Ch \kappa x_2 + \cos \kappa x_2}{2}}, \quad (10)$$

где B_0 - индукция поля на поверхности, т.е. при $x_2 = 0$;

$\kappa = \sqrt{\frac{\omega \mu_2 g_2}{2}}$, g_2 - электропроводность детали.

Следовательно, z_{μ_2} и g_2 будут равны:

$$\left. \begin{aligned} z_{\mu_2} &= \rho_{\mu} \frac{l}{S} \sqrt{\frac{Ch \kappa x_2 + \cos \kappa x_2}{2}} = \frac{l}{\mu_{20} \delta S} \sqrt{\frac{Ch \kappa x_2 + \cos \kappa x_2}{2}}; \\ g_2 &= \mu_{20} \frac{\delta}{a} \frac{1}{\sqrt{\frac{Ch \kappa x_2 + \cos \kappa x_2}{2}}}, \end{aligned} \right\} \quad (11)$$

где a, b, c - геометрические размеры магнитопровода.
 Магнитная проницаемость μ_2 измеряемой детали изменяется под действием механических напряжений по линейному закону

$$\mu_{2\sigma} = \mu_2 (1 + \kappa \sigma), \quad (12)$$

где κ - коэффициент магнитоупругости материала.

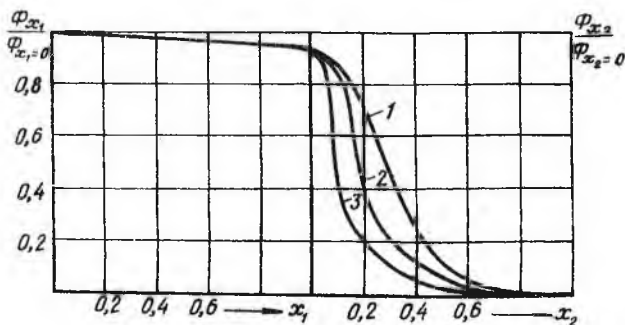
Рассчитывая постоянные интегрирования методом определителей, получаем выражения для магнитных потоков в магнитопроводе и измеряемой детали:

$$\Phi_{x_1} = \frac{JW_4}{2\mu_1} \left\{ \frac{2 \left(\frac{\sigma_2}{g_2} \operatorname{ch} \beta_2 + z_{\mu\sigma} \operatorname{sh} \beta_2 \right) \operatorname{ch} \gamma x_1}{\left(\frac{\sigma_2}{g_2} + \frac{\sigma_1}{g_1} \right) \operatorname{ch} (\beta_1 + \beta_2) + \left(\frac{\sigma_2}{g_2} - \frac{\sigma_1}{g_1} \right) \operatorname{ch} (\beta_1 - \beta_2) + z_{\mu\sigma} [\operatorname{sh} (\beta_1 + \beta_2) - \operatorname{sh} (\beta_1 - \beta_2)]} \right\}$$

$$\Phi_{x_2} = \frac{JW_4}{2\mu_1} \frac{2 \frac{\sigma_1}{g_1} \operatorname{sh} \beta_1 \operatorname{sh} (\gamma_2 x_2 - \beta_2)}{\left(\frac{\sigma_2}{g_2} + \frac{\sigma_1}{g_1} \right) \operatorname{ch} (\beta_1 + \beta_2) + \left(\frac{\sigma_2}{g_2} - \frac{\sigma_1}{g_1} \right) \operatorname{ch} (\beta_1 - \beta_2) + z_{\mu\sigma} [\operatorname{sh} (\beta_1 + \beta_2) - \operatorname{sh} (\beta_1 - \beta_2)]} \quad (13)$$

где $\beta = \gamma l$.

На рис. 2 представлены зависимости относительных потоков $\Phi_x = \frac{\Phi_x}{\Phi_{x=\sigma}} = f(X)$ при различных механических напряжениях σ в измеряемой детали. Из графиков видно, что для конструкции датчика рассеяние магнитного потока в магнитопроводе незначительно. В то же время распределение магнитного потока по глубине измеряемой детали даже с учетом того, что в уравнениях (5) принято $\mu_2 = \text{const}$, ярко выражено.



Р и с. 2. Потокораспределение в магнитопроводе и измеряемой детали при $\sigma=0$ (1); $\sigma=4$ (2); $\sigma=8 \text{ кг/мм}^2$ (3)

Из выражений (13) можно определить индуктивность измерительной (возбуждающей) обмотки:

$$L = \frac{1}{J} \int_0^{l_1} \Phi_{xy} W_y dx_1 + \frac{W}{J} \int_0^{l_2} \Phi_{x_2 y} dx_2 =$$

$$= \frac{2W_1^2}{2\mu_1 l_1} \left\{ \frac{1}{\beta_1} \left(\frac{g_2}{g_1} \operatorname{ch} \beta_2 + z_{\mu\sigma} \operatorname{sh} \beta_2 \right) \operatorname{sh} \beta_1 + \frac{1}{\beta_2} \left(\frac{g_1}{g_2} \operatorname{sh} \beta_1 - \frac{g_1}{g_2} \operatorname{sh} \beta_1 \operatorname{ch} \beta_2 \right) \right. \\ \left. - \left(\frac{g_2 + g_1}{g_2} \right) \operatorname{ch} (\beta_1 + \beta_2) + \left(\frac{g_2 - g_1}{g_2} \right) \operatorname{ch} (\beta_1 - \beta_2) + z_{\mu\sigma} [\operatorname{sh} (\beta_1 + \beta_2) - \operatorname{sh} (\beta_1 - \beta_2)] \right\} \cdot (14)$$

Полученное выражение (14) позволяет с большей точностью определить индуктивность измерительной обмотки с учетом потокораспределения в измеряемой детали, что дает возможность проектировать магнитоупругие датчики для измерения механических напряжений с заданными параметрами.

Л и т е р а т у р а

1. М е х а н ц е в Ю.Я. Магнитоупругие датчики для исследования остаточных напряжений. Свердловск, издательство Уральского гос. университета им. А.М.Торького, 1971, с. 91-III.
2. Ф р и д м а н Л.А. и др. О чувствительности ферродатчика П-образной формы. "Дефектоскопия", 1975, № 1, с. 33-37.
3. Ч а п л ы г и н В.И., Б е з о т о с н ы й В.Ф. Электромагнитный преобразователь с уменьшенным влиянием зазоров. М., Известия вузов "Приборостроение", 1975, № 8, с. 49-52.
4. К а т л я н с к и й Н.И. и др. Теоретические основы электротехники. М., -Л., Госэнергоиздат, 1961, с. 494.

УДК 681.325.3

В.М.Гречишников

НОНИУСНЫЙ ОПТОЭЛЕКТРОННЫЙ ПРЕОБРАЗОВАТЕЛЬ
"УГОЛ-КОД"

Оптоэлектронный аналого-цифровой преобразователь (АЦП) угловых перемещений является одним из наиболее распространенных элементов цифровых систем управления. Как правило, высокие метрологические свойства АЦП достигаются за счет снижения их быстродействия, увеличения габаритов кодирующих узлов и создания специальных условий экс-